

# تحلیل عدم قطعیت تراز سطح آب رودخانه سیستان و بررسی قابلیت اعتماد سیستم کنترل سیل

لیلا افتخاریان<sup>۱</sup>، احمد ابریشم چی<sup>۲\*</sup>، مسعود تجریشی<sup>۳</sup>

۱- کارشناس سازه‌های هیدرولیکی، شرکت مهندسین مشاور بنداپ

۲- دانشیار دانشکده مهندسی عمران، دانشگاه صنعتی شریف

۳- دانشیار دانشکده مهندسی عمران، دانشگاه صنعتی شریف

\* تهران، صندوق پستی ۹۵۱۷-۱۱۳۶۵

abrisham@sharif.edu

**چکیده**- طراحی، تحلیل و بهره‌برداری از سیستمهای کنترل سیل با مقداری از عدم قطعیت همراه است، از این‌رو، مدیریت مؤثر سیل، به تحلیل عدم قطعیت‌ها نیاز دارد. یکی از بخش‌های اصلی مطالعات مدیریت سیل، تحلیل جزیان و محاسبه تراز سطح آب رودخانه در دبی‌های مختلف سیل است. در این مقاله با درنظر گرفتن عدم قطعیت‌های هیدرولوژیکی و هیدرولیکی، عدم قطعیت تراز سطح آب رودخانه سیستان تحلیل شده است. بدین‌منظور، عدم قطعیت‌های بارگذاری (سیل طراحی) و مقاومت (ظرفیت هیدرولیکی رودخانه) تحلیل و با استفاده از نتایج آنها، تحلیل قابلیت اعتماد سیستم کنترل سیل انجام شده است. عدم قطعیت ظرفیت هیدرولیکی به روش تحلیل مرتبه اول و عدم قطعیت هیدرولوژیکی با توجه به عدم قطعیت آمارها و توزیع نمونه کیری آنها، تحلیل شده است. برای تحلیل قابلیت اعتماد سیستم رودخانه از روش انتکرالگیری مستقیم استفاده شده است. نتایج نشان می‌دهد که در صورت صرفنظر کردن از عدم قطعیت‌های هیدرولیکی، تراز سطح آب در رودخانه به میزان قابل ملاحظه‌ای دست پایین برآورد شده و به افزایش ریسک سیستم کنترل سیل منجر می‌شود.

**کلید واژگان:** رودخانه سیستان، تحلیل عدم قطعیت، تحلیل قابلیت اعتماد، تراز سطح آب، سیل بند.

ناتوانی در تعیین دقیق پارامترهای مدل است. عدم قطعیت داده‌ها، ناشی از خطاهای اندازه‌گیری، ناهمگنی و پرت بودن داده‌ها، خطاهای مربوط به جمع آوری و ثبت داده‌ها و کمبود داده‌ها می‌شود و بالاخره، عدم قطعیت‌های عملکردی مربوط به ساخت، تعمیر و نگهداری و به طور کلی مربوط به عوامل انسانی می‌شود. تعیین تراز سطح آب در رودخانه، برای برنامه‌ریزی، طراحی و تحلیل پروژه‌های کنترل سیل و ساماندهی رودخانه ضروری است. محاسبه تراز سطح آب، به مدل محاسبه جریان متغیر تدریجی و خصوصیات هندسی و

## ۱- مقدمه

طرراحی، تحلیل و بهره‌برداری از سیستمهای آبی با عدم قطعیت همراه است. منابع مختلف عدم قطعیت عبارتند از: عدم قطعیت‌های طبیعی (ذاتی)، عدم قطعیت‌های مربوط به مدل و پارامترها و داده‌های آن و عدم قطعیت‌های عملکردی. عدم قطعیت‌های طبیعی، عدم قطعیت‌های مربوط به فرایندهای طبیعی تصادفی مانند بارش و جریان رودخانه است. عدم قطعیت مدل ناشی از ساده سازیها و ناتوانی مدل در توصیف و توضیح دقیق سیستم واقعی است. عدم قطعیت پارامترها ناشی از

از آنها عبارت‌اند از:تابع چگالی احتمال<sup>۱</sup> که کاملترین نحوه توصیف عدم قطعیت محسوب می‌شود، بازه اطمینان متغیر برای احتمال مشخص و گشتاورهای آماری [۱]. یکی از مناسبترین روش‌های کمی‌سازی عدم قطعیت متغیرهای تصادفی، استفاده از گشتاورهای آماری مانند واریانس، انحراف معیار و ضرایب تغییرات است.

در طراحی و تحلیل در مهندسی منابع آب، اصولاً تصمیم‌گیری‌ها بستگی زیادی به پاسخ سیستم در شرایط طراحی دارد. در صورت غیرقطعی بودن برخی الجزای سیستم آبی، پاسخ سیستم را نمی‌توان دارای اطمینان کافی و دقیق ارزیابی کرد. هدف اصلی از تحلیل عدم قطعیت، تعیین عدم قطعیت پاسخ سیستم (نتایج مدل) به صورت تابعی از عدم قطعیت‌های مدل و پارامترهای تأثیرگذار در سیستم است.

روشهای مختلفی برای تحلیل عدم قطعیت مسائل مهندسی منابع آب وجود دارد که هریک از آنها از دیدگاه پیچیدگی ریاضی و نیز داده‌های مورد نیاز در سطح متفاوتی قرار دارند. در تقسیم‌بندی کلی، آنها به دو دسته تحلیلی و تقریبی تقسیم‌بندی می‌شوند. انتخاب روش تحلیل، به طبیعت مساله مورد مطالعه از نظر مقدار اطلاعات موجود، محدودیت منابع، پیچیدگی مدل و نوع آن و دقت مطلوب برای نتایج مدل بستگی دارد.

با روشهای تحلیلی می‌توان اطلاعات کاملی درباره فرایند تصادفی (تابع چگالی احتمال دقیق یا گشتاورهای آماری) را به صورت تابعی از متغیرهای تصادفی دخیل در سیستم به دست آورد. در عمل، استفاده از بسیاری از روشهای تحلیلی با محدودیت رویه رو است؛ زیرا به روابط تابعی ساده و نیز استقلال پارامترهای مدل نیاز است که در مسائل واقعی کمتر وجود دارد. بسیاری از مدلها یا شیوه‌های طراحی که در مهندسی منابع آب به کار می‌روند، غیرخطی و پیچیده‌اند، به طوری که به دست آوردن توزیع احتمال خروجی (نتایج) مدل به

هیدرولیکی رودخانه به عنوان پارامترهای مدل و دبی طراحی سیل به عنوان پارامتر ورودی مدل، نیاز دارد. از آنجا که ساختار مدل و پارامترهای آن و نیز دبی طراحی سیل، عدم قطعیت‌هایی دارند، نتایج مدل رانمی‌توان قطعی تلقی کرد در واقع به جای یک مقدار قطعی، بهتر است با تعریف تراز سطح آب به عنوان متغیری تصادفی، حدود اطمینان آن را مشخص کنیم.

عدم قطعیت‌های هیدرولوژیکی و هیدرولیکی در ایجاد عدم قطعیت در محاسبات تراز سطح آب در رودخانه، دخالت دارند. عدم قطعیت هیدرولوژیکی شامل عدم قطعیت ذاتی، عدم قطعیت نوع توزیع احتمال و عدم قطعیت پارامترهای توزیع است. عدم قطعیت هیدرولیکی شامل عدم قطعیت‌های مدل، روش محاسباتی، پارامترها و داده‌های مدل است.

در روشهای متداوول و سنتی طراحی سازه‌های هیدرولیکی برپایه ریسک- که در آنها از نرم افزارهای هیدرولیکی مانند HEC-RAS برای محاسبه تراز و پروفیل سطح آب رودخانه استفاده می‌شود- فقط عدم قطعیت مربوط به تصادفی بودن ذاتی پدیده‌های هیدرولوژیکی در نظر گرفته می‌شود و به عدم قطعیت نتایج این مدلها - که معلوم عدم قطعیت‌های مختلف هیدرولوژیکی و هیدرولیکی است- کمتر توجه می‌شود. این موجب می‌شود که نتایج مدل با واقعیت فاصله زیادی داشته باشد. در حقیقت برای درنظر گرفتن عدم قطعیت‌ها در طراحی، از ضرایب اطمینان استفاده می‌شود. ضرایب اطمینان بر اساس تجربیات و قضایت مهندسی تعیین می‌شوند؛ لکن نمی‌توانند اینمنی و عملکرد مطلوب سیستم را با قابلیت اعتماد مطلوب تأمین کنند. همچنین در بسیاری از موارد نمی‌توانند اطلاعاتی درباره نحوه تأثیر متغیرها و پارامترهای مختلف سیستم بر عملکرد آن ارائه کنند.

برای توصیف و کمی‌سازی عدم قطعیت متغیرهای تصادفی از مشخصه‌های مختلفی استفاده می‌شود که برخی

تراز سیل در رودخانه و ظرفیت سازه‌های کنترل سیل، به تحقیقات Lee و Mays، Mc Bean و Oegema، Cesare، Singh و Melching، Mays و Tung، و Johnson می‌توان اشاره کرد [۱۳-۸].

در این مقاله، با توجه به عدم قطعیت پارامترهای مدل محاسبه جریان متغیر تدریجی و عدم قطعیت پارامترهای تابع توزیع احتمال سیل، عدم قطعیت و بازه اطمینان تراز سطح آب تحلیل شده است. به بیان دیگر، دو منبع عدم قطعیت یعنی عدم قطعیت دبی سیل طراحی (عدم قطعیت هیدرولوژیکی) و عدم قطعیت ظرفیت رودخانه (عدم قطعیت هیدرولیکی) بررسی شده است. به عنوان مطالعه موردی، عدم قطعیت تراز سطح آب در مقطع بحرانی رودخانه سیستان تحلیل و تأثیر آن بر طراحی سیل‌بند اطراف رودخانه بررسی شده است. همچنین نتایج حاصل با حالتی که فقط عدم قطعیت‌های هیدرولوژیکی در نظر گرفته شود مقایسه شده است.

## ۲- عدم قطعیت‌های هیدرولوژیکی (سیل طراحی)

حریان سیل به طور ذاتی و طبیعی، فرایندی تصادفی و غیرقطعی است. از این رو برای براورد آن از تصوری احتمال استفاده می‌شود. یکی از چالشها در مطالعات هیدرولوژیکی، براورد دبی سیل با دوره بازگشت مشخصی است که خارج از دامنه و قابع اندازه‌گیری شده در نمونه نسبتاً کوچک فرایندهای هیدرولوژیکی قرار می‌گیرد. در تحلیل فراوانی سیل، با برآش یک توزیع احتمال مناسب بر داده‌های نمونه، پارامترهای توزیع و سپس دبی سیل با دوره بازگشت مورد نظر براورد می‌شود. دبی سیل براورد شده، آماری است که از یک نمونه به دست می‌آید و به دو دلیل متغیری تصادفی است. اول اینکه، نوع توزیع احتمال انتخاب شده قطعی نیست. هیدرولوژیستها از چند نوع توزیع احتمال مرسوم استفاده می‌کنند، لیکن این توزیعها را به عنوان بهترین توزیع در تمامی موارد

صورت تحلیلی غیرممکن است.

به عنوان یک گزینه عملی، روش‌های مناسب و رایج‌اند که تقریبی از ویژگیهای آماری خروجی (نتایج) غیرقطعی مدل را به دست می‌آورند. از میان روش‌های تقریبی می‌توان به روش گشتاور دوم مرتبه اول حول میانگین (MFOSM)<sup>۱</sup>، روش براورد نقاط احتمالی و روش شبیه‌سازی مونت کارلو اشاره کرد.

Burges در سال ۱۹۷۹ به بررسی تأثیر توأم عدم قطعیت‌های هیدرولیکی و هیدرولوژیکی پرداخت [۲]. او از روش تحلیل مرتبه اول عدم قطعیت برای براورد پهنای اراضی سیلگیر اطراف رودخانه استفاده کرد. Tung و Mays در سال ۱۹۸۰ یک رابطه قابلیت اعتماد ارائه کردند که در آن عدم قطعیت‌های توأم هیدرولیکی و هیدرولوژیکی در نظر گرفته شده بود. آنها با استفاده از تحلیل مرتبه اول خطاب روابط مانینگ، قابلیت اعتماد کالورت مستطیلی را به صورت احتمال اینکه مقاومت یا ظرفیت کالورت بیشتر از بارگذاری (دبی سیلاب) شود، تحلیل کردند [۳]. Mays و Tung در سال ۱۹۸۱ دو مدل استاتیکی و دینامیکی برای طراحی سیل بند ارائه دادند [۴]. McBean و همکاران در سال ۱۹۸۴ با تحلیل قابلیت اعتماد به روش MFOSM، انحراف معیار عرض سیلابدشت را براورد کردند [۵]. در سال ۱۹۸۶ نتایج تحقیقات کسترده‌ای در زمینه دقت پروفیلهای سطح آب توسط مرکز مهندسی هیدرولوژی ارتش امریکا<sup>۲</sup> (HEC) منتشر شد [۶]. خلاصه‌ای از نتایج Davis و Burnham این تحقیقات در مقاله‌ای توسط در سال ۱۹۹۰ به چاپ رسید [۷]. در این تحقیقات، عدم قطعیت‌های مربوط به هندسه مقطع و خصوصیات هیدرولیکی مقطع مانند ضرب زبری مانینگ با شبیه‌سازی مونت کارلو براورد شد.

از تحقیقات انجام شده در زمینه تحلیل عدم قطعیت

1. Mean First-Order Second-Moment

2. Hydrologic Engineering Center, U.S. Army Corps of Engineers

از نمونه برآورده شود - غیرقطعی است و درجه عدم قطعیت بستگی به اندازه نمونه دارد.

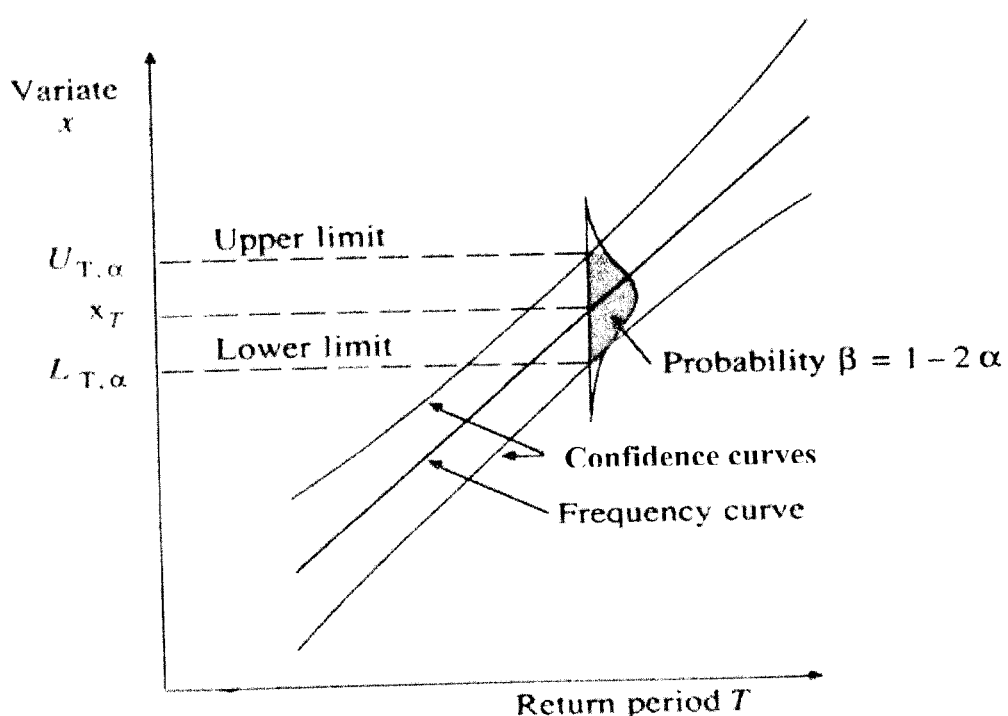
خطای استاندارد، معیاری از عدم قطعیت در برآورد دبی سیل با تحلیل فراوانی است. در واقع مقداری که برای پیشامد  $T$  ساله برآورده شود، مقداری قطعی نیست، بلکه میانگین توزیع است که اغلب نرمال در نظر گرفته می‌شود و خطای استاندارد، انحراف معیار این توزیع است (شکل ۱). اگر توزیع احتمال پیشامد  $T$  ساله معلوم باشد، آنگاه حدود اطمینان پیشامد  $T$  ساله را می‌توان از رابطه زیر محاسبه کرد:

$$X_T \pm t_{\alpha} S_D \quad (1)$$

که در آن  $t_{\alpha}$  انحراف نرمال استاندارد متناظر با سطح اطمینان مفروض و  $S_D$ ، انحراف معیار توزیع احتمال پیشامد  $T$  ساله است. با افزایش اندازه نمونه،  $t_{\alpha}$  کاهش می‌یابد.

نمی‌توان توصیه کرد؛ زیرا بستگی به خصوصیات هیدرولوژیکی مورد مطالعات دارد. شایان ذکر است که آزمونهای خوبی برآش نیز نمی‌توانند کمک چندانی برای انتخاب بهترین توزیع نمایند در تحلیل فراوانی سیل، معمولاً برونویابی داده‌های موجود باید انجام گیرد. با آنکه بسیاری از توزیعها شکل یکسانی در حول مرکز توزیع دارند، لیکن دنباله‌های متفاوتی در اطراف دارند. لذا آزمون خوبی برآش لازم است، اما کافی نیست. اگر آزمون خوبی برآش تنها معیار مورد نیاز بود، معادلات چندجمله‌ای درجه بالا، برآش بهتری بر داده‌ها - داشتند. در حالی که تابع چندجمله‌ای، هیچگونه توجیه هیدرولوژیکی ندارد.

منبع دیگر عدم قطعیت در برآورد سیل، عدم قطعیت پارامترهای توزیع احتمال مورد نظر است. با توجه به اینکه داده‌های موجود، صرفاً نمونه‌ای از یک فرایند هیدرولوژیکی است، پارامترهای تابع توزیع احتمال - که



شکل ۱ توزیع نمونه‌گیری پیشامد با دوره بازگشت  $T$

$$\Omega_p \cong \Omega_z = \sqrt{\Omega_y^2 + \Omega_z^2} \quad (4)$$

$$\Omega = \frac{\sigma}{X} \quad (5)$$

که در آن  $\bar{X}$ ,  $\sigma$  و  $\Omega$  به ترتیب میانگین، انحراف معیار و ضریب تغییرات کمیت غیرقطعی (تصادفی) است. مقدار  $\Omega$  و  $\Omega_z$ ، به روش نقشه برداری و دقت تجهیزات و نقشه بردار استگی دارد. عدم قطعیت شبیه اصطکاکی  $S_f$  را می‌توان بر حسب عدم قطعیت اندازه‌ها در امتدادهای طولی و عمقی  $(x, y)$  چنین بیان کرد:

$$S_f = f(x, y) \quad (6)$$

$$\Omega_{S_f} = \sqrt{(\Omega_x^2 + \Omega_y^2)} \quad (7)$$

### ۱-۳- تحلیل عدم قطعیت رابطه مانینگ به روش گشتاور دوم مرتبه اول حول میانگین (MFOSM)

این روش به تابع چگالی احتمال پارامترهای غیرقطعی مدل نیاز ندارد و همین ویژگی موجب سادگی روش شده است. در این روش، عدم قطعیت نتایج مدل بر حسب خصوصیات آماری پارامترهای غیرقطعی مدل برآورد می‌شود و ایده اصلی، تقریب زدن یک مدل - شامل پارامترهای تصادفی و غیرقطعی - به کمک بسط تیلور است. فرض کنید  $W$ ، متغیر هیدرولیکی یا هیدرولوژیکی طراحی است که به  $N$  پارامتر تصادفی  $x_1, x_2, \dots, x_N$  وابسته است به طوری که:

$$W = g(X) = g(x_1, x_2, \dots, x_N) \quad (8)$$

$$X = (x_1, x_2, \dots, x_N)^T$$

$X$  بردار ستونی  $N$  بعدی از پارامترهای غیرقطعی مدل یعنی  $x_1, x_2, \dots, x_N$  و شاخص  $t$  ترانه‌اده ماتریس ستونی است. بسط تیلور مرتبه اول تابع  $g(X)$  حول نقطه  $x_0$  چنین است:

$$W \approx g(x_0) + s_0(X - x_0) \quad (9)$$

که در آن  $S_0$  بردار ستونی ضرایب حساسیت است و

هریک از آرایه‌های آن از رابطه  $\frac{\partial W}{\partial x_i}$  با قرار دادن

### ۳- عدم قطعیتهای هیدرولیکی

برای تعیین ظرفیت هیدرولیکی رودخانه معمولاً از رابطه مانینگ استفاده می‌شود که شامل پارامترهای غیرقطعی ضریب مانینگ و خصوصیات هندسی رودخانه است. ضریب مانینگ با استفاده از روابط تجربی، جدولها، مقایسه با عکسها و تجربه افراد خبره برآورد می‌شود. با توجه به روش تعیین ضریب مانینگ که غالباً تخمینی و بر مبنای قضایت مهندسی است، مقدار برآورد شده آن قطعی نیست. تحقیقات نشان داده که عدم قطعیت ضریب مانینگ تأثیر زیادی بر عدم قطعیت ظرفیت هیدرولیکی آبراهه دارد. برای تعیین عدم قطعیت ضریب مانینگ، روش مشخص و استاندارد شده‌ای وجود ندارد. پژوهشگران مقادیر مختلفی را برای این عدم قطعیت فرض کرده و بیشتر آنان به مبنای این فرضیات اشاره‌ای نکرده‌اند. تحقیقات وسیعی در مرکز مهندسی هیدرولوژی (HEC) در سال ۱۹۸۶ در قالب مطالعه‌ای آماری برای تعیین ضریب مانینگ و عدم قطعیت آن انجام شد [۷,۸]. رابطه‌ای که از این تحقیقات برای انحراف معیار ضریب مانینگ،  $S_0$ ، به دست آمده، به صورت زیر است:

$$S_0 = n \sqrt{(e^{(0.582 + 0.10 \ln(n))^2} - 1)} \quad (2)$$

خصوصیات هندسی مورد استفاده برای محاسبه ظرفیت هیدرولیکی مقطعی از رودخانه شامل  $A$  (سطح مقطع جریان) و  $p$  (محیط خیس شده) است. عدم قطعیت‌های مربوط به پارامترهای  $A$  و  $p$  ناشی از خطاهای نقشه برداری بوده و به دقت روشهای و تجهیزات به کار رفته استگی دارد. به منظور تعیین عدم قطعیت این دو پارامتر، روش به کار کرفته شده توسط McBean و Oegema روشی مناسب و کاربردی است [۹]. از آنجا که مقادیر  $A$  و  $p$ ، به اندازه‌کیریها در دو جهت عمقی و عرضی  $(z, y)$  بستگی دارند، درجه عدم قطعیت این دو پارامتر بر حسب عدم قطعیت اندازه‌ها در این دو امتداد بیان شده و عبارت اند از:

$$p = f(z) \quad A = f(y) \quad (3)$$

هیدرولیکی مقطع) را مشخص می‌کند [۹].

## ۴- محاسبه قابلیت اعتماد از طریق تحلیل بار- مقاومت

قابلیت اعتماد<sup>۱</sup> سیستم عبارت است از احتمال آنکه مقاومت<sup>۲</sup> بیشتر از بار<sup>۳</sup> باشد و ریسک<sup>۴</sup> عبارت است از احتمال آنکه بار از مقاومت بیشتر شود. از آنجا که بار و مقاومت، متغیرهای تصادفی محسوب می‌شوند، تعیین توزیع احتمال آنها برای تحلیل قابلیت اعتماد لازم است. در سیستم‌های کنترل سیل، منظور از بارگذاری، دبی سیل با دوره بازگشت طراحی و منظور از مقاومت، ظرفیت هیدرولیکی سیستم رودخانه برای عبور جریان است.

قابلیت اعتماد، احتمال اینم بودن یا عدم شکست است و با رابطه زیر تعریف می‌شود:

$$\alpha = P(L \leq R) \quad (15)$$

که در آن  $L$  و  $R$  به ترتیب بار و مقاومت است.

روشهای مختلفی برای محاسبه قابلیت اعتماد سیستم به روش تحلیل بار- مقاومت وجود دارد که از آن میان به روشهای انگرالگیری مستقیم، استفاده از حاشیه ایمنی و ضریب ایمنی، و گشتاور دوم مرتبه اول می‌توان اشاره کرد [۱۶]. از آنجا که روش مورد استفاده در این مقاله، روش انگرالگیری مستقیم است، در اینجا به اختصار به شرح آن پرداخته می‌شود.

## ۵- روش انگرالگیری مستقیم<sup>۵</sup>

با توجه به رابطه (۱۵)، قابلیت اعتماد را می‌توان بر حسب تابع چگالی احتمال توان<sup>۶</sup> بار و مقاومت حساب کرد:

$$\alpha = \int_{r_1}^{r_2} \int_{l_1}^{l_2} f_{L,R}(l, r) dl dr \quad (16)$$

$X = x_0$  در آن به دست می‌آید. میانگین و واریانس متغیر  $W$  با تقریب مرتبه اول حول میانگین و با فرض مستقل بودن کمیتها از یکدیگر از روابط (۱۰) به دست می‌آیند [۱]:

$$\bar{W} \cong g(x_0) \quad (10)$$

$$Var(W) \cong \sum_{i=1}^N s_i^2 \sigma_i^2 = s' D$$

که در آن<sup>۷</sup>  $\sigma$  و  $D$  به ترتیب واریانس و ماتریس قطری واریانس متغیرهای تصادفی است.

مقطع عرضی رودخانه معمولاً به صورت مقطع مرکب است و با توجه به متفاوت بودن مقدار ضریب مانینگ در کanal اصلی و سیلاندست، رابطه مانینگ به صورت زیر نوشته می‌شود:

$$Q = \left[ \sum_{i=1}^3 k_i \right] S_f^{1/2} \quad (11)$$

$k_i$  ثابت انتقال زیر مقطع  $i$  است و چنین تعریف می‌شود:

$$k_i = \frac{A_i^{5/3}}{n_i p_i^{2/3}} \quad (12)$$

که در آن<sup>۸</sup>  $A_i$ ،  $n_i$  و  $p_i$  به ترتیب سطح جریان، محیط خیس شده و ضریب مانینگ زیر مقطع  $i$  است. بدین ترتیب رابطه ظرفیت هیدرولیکی مقطع رودخانه تابعی از پارامترهای زیر است:

$$Q = f(S_f, A_i, n_i, p_i) \quad (13)$$

براساس رابطه (۱۰) و پس از ساده سازی مورد نیاز، ضریب تغییرات ظرفیت هیدرولیکی از رابطه زیر به دست می‌آید:

$$(14)$$

$$\Omega_Q^2 = \frac{1}{4} \Omega_{S_f}^2 + \sum_{i=1}^3 \left( \frac{k_i}{k_f} \right)^2 \left[ \frac{25}{9} \Omega_{A_i}^2 + \Omega_{n_i}^2 + \frac{4}{9} \Omega_{p_i}^2 \right]$$

که  $k_f$  ضریب انتقال کل است.

از رابطه (۱۴) با معلوم بودن کلیه اجزا، ضریب تغییرات ظرفیت هیدرولیکی و در واقع عدم قطعیت آن قابل محاسبه است. این رابطه، ارتباط بین عدم قطعیت پارامترهای ورودی و عدم قطعیت خروجی مدل (ظرفیت

1. Reliability

2. Resistance

3. Load

4. Risk

5. Direct Integration Method

6. Joint Probability Density Function

$$I - \frac{\alpha}{2} = \int_0^{Q_u} f_L(l) dl \quad (22)$$

اگر مسئله برای حالتی که عدم قطعیت‌های مقاومت نیز منظور شوند، تعمیم داده می‌شود. در این حالت داریم:

$$\frac{\alpha}{2} = \int_0^{\infty} \int_{l=Q_l}^{\infty} f_{R,L}(r, l) dr dl \quad (23)$$

و

$$I - \frac{\alpha}{2} = \int_0^{\infty} \int_{l=Q_u}^{\infty} f_{R,L}(r, l) dr dl \quad (24)$$

از آنجا که بار و مقاومت مستقل از یکدیگرند، می‌توان نوشت:

$$f_{R,L}(r, l) = f_R(r) \cdot f_L(l) \quad (25)$$

بدین ترتیب روابط (۲۳) و (۲۴) به صورت زیر ساده می‌شوند [۹]:

$$\frac{\alpha}{2} = \int_0^{\infty} f_{L(l)} \int_l^{\infty} f_R(r) dr dl (l = Q_l) \quad (26)$$

$$I - \frac{\alpha}{2} = \int_0^{\infty} f_L(l) \int_l^{\infty} f_R(r) dr dl (l = Q_u) \quad (27)$$

هدف از تحلیل قابلیت اعتماد دبی سیل  $T$  ساله، تعیین مقادیر  $Q_u$  و  $Q_l$  با درنظر گرفتن توم عدم قطعیتهای هیدرولوژیکی و هیدرولیکی است. با استفاده از مقادیر محاسبه شده  $Q_u$  و  $Q_l$ ، تراز سطح آب متناظر با این دبی‌ها را از مدل هیدرولیکی HEC-RAS می‌توان محاسبه کرد. بدین ترتیب، بازه اطمینان برای تراز سطح آب به دست می‌آید. با توجه به قابلیت اعتماد مورد نظر، پارامترهای  $Q_u$  و تراز سطح آب متناظر آن، مبنای طراحی و تعیین ارتفاع سیل‌بندها قرار می‌گیرند.

## ۶- مطالعه موردي

رودخانه هیرمند که از ارتفاعات افغانستان سرچشمه می‌گیرد، پس از طی مسیری در حدود هزار کیلومتر در افغانستان در نقطه مرزی موسوم به دوشاخه هیرمند واقع در ۳۶ کیلومتری جنوب شرقی زابل، به دو شاخه سیستان و پریان مشترک تقسیم می‌شود (شکل ۲). بعد از نقطه

که در آن  $(l_1, r_1)$  و  $(l_2, r_2)$  به ترتیب تابع چگالی احتمال توأم بار و مقاومت، حد بالا و پایین مقاومت و حد بالا و پایین بار است. در صورت مستقل بودن بار و مقاومت، روابط بالا به صورت زیر ساده می‌شوند [۱۶]:

$$\alpha = \int_{r_1}^{r_2} F_L(r) f_R(r) dr = E_R[F_L(R)] \quad (17)$$

یا

$$\alpha = \int_{l_1}^{l_2} [I - F_R(l)] f_L(l) dl = I - E_L[F_R(l)] \quad (18)$$

در روابط بالا،  $F_L$  و  $F_R$  به ترتیب تابع توزیع تجمعی<sup>۱</sup> بار و مقاومت و  $E$  امید ریاضی است.

در این مقاله برای رسیدن به روشهای مناسب برای در نظر گرفتن توأم عدم قطعیت‌های بار و مقاومت و تداخل آنها، ابتدا فرض می‌شود که عدم قطعیت‌های مقاومت (یعنی عدم قطعیت هیدرولیکی) صفر باشند. در این صورت، دبی‌های حد بالا و پایین بازه اطمینان، فقط تابعی از مقدار دبی طراحی و عدم قطعیت‌های هیدرولوژیکی بوده و از روابط زیر تعیین می‌شوند:

$$Q_u = Q_T + k \cdot SD_T \quad (19)$$

$$Q_l = Q_T - k \cdot SD_T \quad (20)$$

در روابط بالا،  $Q_u$  و  $Q_l$  به ترتیب حد بالا و پایین بازه اطمینان دبی سیل  $T$  ساله  $Q_T$  و  $k$  ضریب فراوانی<sup>۲</sup> است که مقدار آن به قابلیت اعتماد مورد نظر بستگی دارد. در استفاده از روابط (۱۷) و (۱۸)، توزیع نمونه‌گیری<sup>۳</sup> آماره سیل  $T$  ساله نرمال در نظر گرفته شده است. روابط (۱۹) و (۲۰) را به صورت زیر نیز می‌توان نوشت:

$$\frac{\alpha}{2} = \int_0^{Q_l} f_L(l) dl \quad (21)$$

و

1. Cumulative Distribution Function
2. Frequency Factor
3. Sampling Distribution

در طول مسیر رودخانه سیستان، سازه‌های مهمی مانند سیل‌بند، فیدر کanal و آبگیر آن، سد کهک، سیل بر زهک- نیاتک، سد کهک، کanal هدریس، سد سیستان، پل جاده زابل- زاهدان و کanal‌های متعدد آبیاری وجود دارد.

یکی از اجزای مهم سیستم کنترل سیل دشت سیستان، سیل‌بندهای اطراف رودخانه است. مبنای طراحی سیل‌بندها، حفاظت دشت سیستان در مقابل سیل ۱۰۰ ساله بوده است. نتایج تحلیلهای جریان دائمی و غیر دائمی رودخانه سیستان نشان داده که در وضعیت موجود، این سیستم فقط ظرفیت عبور جریان ۶۰۰ متر مکعب بر ثانیه را دارد و این بدان معنا است که رودخانه ظرفیت عبور دبی طراحی سیستم هیدرولیکی را ندارد و نیاز به طراحی سیستمی با ظرفیت بیشتر وجود دارد [۱۸].

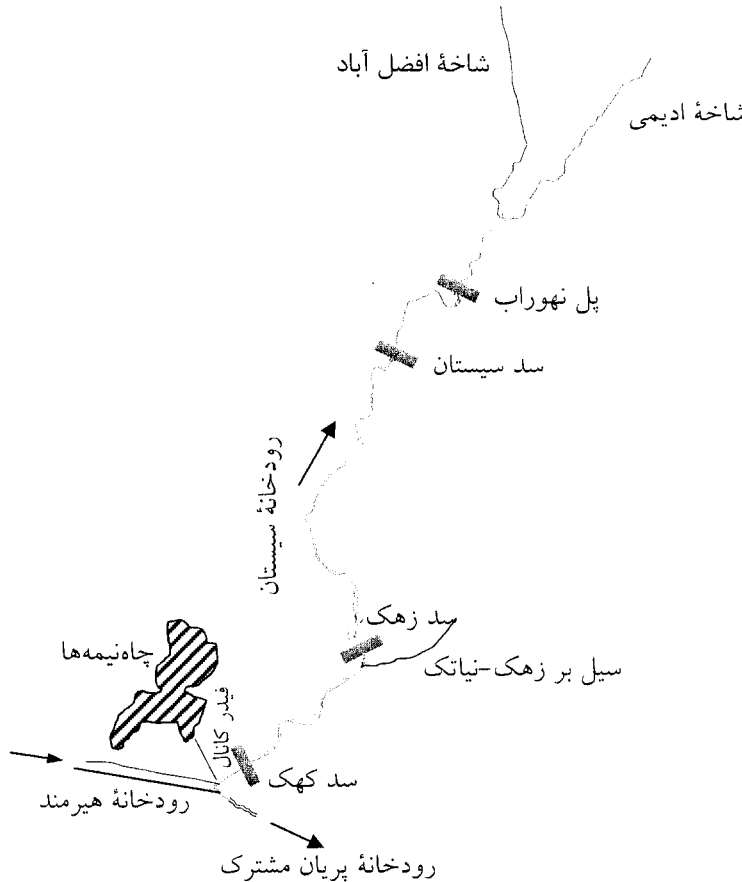
در این مقاله، افزایش ارتفاع سیل‌بندها به عنوان روش اصلاح سیستم و افزایش ظرفیت هیدرولیکی رودخانه در نظر گرفته شده و تراز سطح آب مانند دبی سیل ۱۰۰ ساله با درنظر گرفتن عدم قطعیت‌های هیدرولوژیکی و هیدرولیکی برای قابلیت اعتمادهای مختلف برآورد شده است. مفهوم قابلیت اعتماد سیستم، احتمال بیشتر بودن ظرفیت هیدرولیکی سیستم نسبت به دبی طراحی سیل است. با اضافه کردن اثار امواج ناشی از باد و نیز ارتفاع آزاد، به ترازهای به دست آمده با قابلیت اعتماد مطلوب، ارتفاع مورد نیاز برای سیل‌بندها برآورد می‌شود.

بازه مورد مطالعه، حد فاصل سدهای کهک و زهک بر روی رودخانه‌های سیستان می‌باشد، به طول ۱۳/۸ کیلومتر، از کیلومتر ۲+۱۰۰ تا کیلومتر ۱۵+۹۰۰ (شکل ۲). با توجه به هدف پروژه کنترل سیل رودخانه سیستان، مقطع انتخاب شده در این بازه مقطعی است که حداقل ظرفیت هیدرولیکی را داشته و اولین مقطعی است که روگذری در آن اتفاق می‌افتد و در واقع تعیین کننده ظرفیت هیدرولیکی سیستم است (مقطع بحرانی).

تقسیم، رودخانه سیستان به خاک ایران وارد شده و پس از طی مسافتی در حدود ۶۰ کیلومتر در جهت غرب و آبیاری کردن زمینهای دشت زابل، به هامون هیرمند می‌ریزد [۱۸، ۱۷].

رودخانه سیستان به عنوان شاخه‌ای از رودخانه هیرمند، داری ویژگیهای مشابهی با رودخانه هیرمند از نظر خشکسالی‌ها و سیلانهای است. در طول تاریخ، دشت سیستان علاوه بر کم آبی‌ها و خشکسالی‌ها، سیلهای بزرگی را نیز تجربه کرده و از آنها بشدت آسیب دیده است. از این رو، مقابله با سیل همواره یکی از دغدغه‌های مردم این منطقه بوده است. احداث سیل‌بندهای خاکی در سیستان که قدمتی در حد خود سیستان دارند، یکی از اقدامات ساکنان منطقه در مقابل سیل است سیل‌بندها که در اصطلاح محلی به آنها "گوره" گفته می‌شود، به منظور محدود کردن رودخانه سیستان در مسیر اصلی آن و جلوگیری از هجوم سیل به زمینهای اطراف رودخانه و حفاظت از دشت سیستان در برابر سیلهای مخرب احداث شده است [۱۸، ۱۷]. سیلان، زمینهای دشت سیستان را به دو صورت به زیر آب می‌برد: ۱) با غرقاب کردن زمینهای حاشیه سیل به زمینهای اطراف رودخانه و سرازیر شدن سیل به دشت می‌شود و ۲) با بالا آمدن سطح آب در هامونها و بویژه همراه شدن این وضعیت با امواج پردازه ناشی از بادهای شدید منطقه و درنتیجه فروریختن سیل بندهای حاشیه هامونها، سیل به دشت سیستان سرازیر می‌شود.

در طول ۵۰ سال گذشته، تعدادی واقعه سیل در دشت سیستان روی داده که مهمترین آنها در سالهای ۱۳۳۶ و ۱۳۷۰ بوده است. این سیلهای به ترتیب در حدود ۲۳۰۰۰، ۷۵۰۰ و ۸۰۰۰ هکتار از زمینهای دشت سیستان را به زیر آب برده است.



شکل ۲ پلان رودخانه سیستان

نقشه بردار، عدم قطعیت پارامترهای هندسی مقطع یعنی  $S_f$  و  $P$  از روابط (۴) و (۷) محاسبه شده و در جدول ۱ آرائه شده است.

جدول ۱ ضریب تغییرات پارامترها ظرفیت هیدرولیکی

ضریب تغییرات	پارامتر
۰/۰۱۲۱	شیب اصطکاکی، $S_f$
۰/۰۰۸۳	سطح جریان، $A$ ، مقطع سیلگیر چپ رودخانه
۰/۰۱۲۱	سطح جریان، $A$ ، کanal اصلی رودخانه
۰/۰۰۴۹	سطح جریان، $A$ ، مقطع سیلگیر راست رودخانه
۰/۰۰۰۷	محیط خیس شده، $P$
۰/۲۹۱۰	ضریب مانینگ، $n$ ، سطح سیلگیر چپ رودخانه
۰/۲۲۵۵	ضریب مانینگ، $n$ ، کanal اصلی رودخانه
۰/۲۹۱۰	ضریب مانینگ، $n$ ، سطح سیلگیر راست رودخانه

این مقطع در کیلومتر ۴۰+۱۰ رودخانه قرار دارد و مشخصات آن در شکل ۲ نشان داده شده است.

ضریب زبری مانینگ بازه مطالعاتی برای کanal اصلی رودخانه و سطوح سیل گیر به ترتیب برابر ۰/۰۳۵ و ۰/۰۴۰ براورد شده است. برای محاسبه انحراف معیار پارامتر  $n$  از رابطه (۲) استفاده شده است.

برای محاسبه عدم قطعیت‌های هندسی، مقدار خطای اندازه‌گیری از شرکت نقشه بردار استعلام شد. با توجه به تجهیزات استفاده شده و دقت اعمال شده در برداشت‌ها، خطای بسیار کم است، به طوری که در مقایسه با خطای روش‌های دیگر تعیین هندسه رودخانه مانند استفاده از عکس‌های هوایی و نقشه‌های توپوگرافی، قابل صرف‌نظر کردن است. با وجود این، با استفاده از مقدار عدم قطعیت اندازه‌ها در سه جهت  $x$ ،  $y$  و  $z$  اعلام شده توسط شرکت

شده است. نحوه تعیین پارامترهای این توزیع چنین است که با داشتن مقدار میانگین، انحراف معیار با استفاده از روش تحلیل عدم قطعیت (MFOSM) محاسبه می‌شود. در واقع انحراف معیار مقاومت، تابعی از میانگین آن و نیز میانگین و انحراف معیار پارامترهای غیرقطعی دخیل در آن-هنده رودخانه و ضریب زیری مانینگ- می‌باشد (رابطه ۱۴). در باره نحوه تعیین مقدار میانگین ظرفیت (مقاومت) در بخش بعد توضیح داده می‌شود.

### ۷-۳- حل کردن رابطه قابلیت اعتماد

در روابط ۲۶ و ۲۷  $f_L$  تابع چگالی احتمال پدیده هیدرولوژیکی (سیل T ساله) و  $f_R$  تابع چگالی احتمال ظرفیت هیدرولیکی رودخانه است. عبارت سمت راست هر یک از روابط مزبور، احتمال وقوع توأم یک پدیده هیدرولوژیکی مشخص (مثلاً سیل T ساله) و ظرفیت هیدرولیکی رودخانه است. حل کردن رابطه قابلیت اعتماد، در حقیقت عبارت است از به دست آوردن  $Q_L$  و  $Q_U$  به طوری که در روابط (۲۶) و (۲۷) صدق کنند.  $Q_L$  دبی جریان رودخانه است که تراز سیل T ساله در رودخانه با احتمال  $\alpha/2$  درصد از تراز سطح آب نظیر آن تجاوز می‌کند.  $Q_U$ ، دبی جریان رودخانه است که  $\alpha/2$  درصد احتمال دارد تراز سیل T ساله از تراز نظیر  $Q_U$  تجاوز کند. برای تعیین  $Q_L$  یا  $Q_U$ ، چهار پارامتر  $Q_T$ ،  $SD_T$ ،  $\alpha$  و عدم قطعیت هیدرولیکی (واریانس ظرفیت هیدرولیکی رودخانه) در دبی  $Q_L$  یا  $Q_U$  باید معلوم باشند. رابطه (۲۷) را باید به روشی تکراری حل کرد. از این رو، حل روابط مزبور، با در دست داشتن مقدار  $Q_T$  و  $SD_T$  و اختیار کردن مقدار مشخصی (مقدار مورد نظر) برای  $\alpha$  و ظرفیت هیدرولیکی رودخانه و سپس محاسبه واریانس ظرفیت هیدرولیکی (از رابطه ۱۴) شروع می‌شود.

از آنجا که عدم قطعیت هیدرولیکی در یک دبی قبل از تعیین دبی قابل محاسبه نیست (رابطه ۱۴)، روابط (۲۶) و

### ۷-۱- الگوریتم حل مسئله

حل مسئله شامل سه بخش است.

### ۷-۲- توزیع احتمال بارگذاری (سیل)

توزیع احتمال بارگذاری (توزیع نمونه گیری آماره سیل ۱۰۰ ساله)، برطبق توصیه بیشتر مراجع، توزیع نرمال در نظر گرفته شده است. برای به دست آوردن پارامترهای این توزیع، یعنی دبی سیل ۱۰۰ ساله و خطای استاندارد (انحراف معیار) آن از سه توزیع آماری متفاوت یعنی توزیع گامبل، لوگ نرمال و لوگ پیرسون نوع سه که بر سری ۴۷ ساله ماکریم دبی سالانه رودخانه سیستان برآش داده شده، استفاده شده است. نتایج این تحلیل آماری- احتمالی در جدول ۲ ارائه شده است.

جدول ۲ پارامترهای توزیع نمونه گیری بارگذاری

(سیل ۱۰۰ ساله)

	توزيع لوگ پیرسون	توزيع لوگ نرمال	توزيع گامبل	سیل طرح (۱۰۰ ساله)
۱۴۹۸	۱۷۹۲	۱۵۴۲	میانگین، مترمکعب برثانیه، $Q_T$	
۵۰۰	۴۵۰	۱۹۲	انحراف معیار، مترمکعب برثانیه، $SD_T$	

دبی سیل رودخانه سیستان در بازه مطالعاتی تحت تأثیر سدهای کهک و زهک قرار دارد. اثر سد زهک در مدل منظور شده است. تأثیر سد کهک به این ترتیب است که در جریانهای سیلابی، پس زدگی آب پشت این سد ممکن است به محل دو شاخه (محل تقسیم آب هیرمند به رودخانه های پریان مشترک و سیستان) برسد و بر میزان آب ورودی به رودخانه سیستان تأثیر بگذارد. فرض شده که این کنترل نسبت به دبی سیل ۱۰۰ ساله تغییر نمی‌کند.

### ۷-۲- توزیع مقاومت (ظرفیت هیدرولیکی سیستم)

برای مقاومت، دو توزیع نرمال و لوگ نرمال در نظر گرفته

تابعی از عدم قطعیت پارامترهای آن است (رابطه ۱۴)، نتایج نشان می‌دهد که عدم قطعیت‌های هندسی ( $S_f, P, A$ ) در مجموع ۲ درصد و عدم قطعیت ضرب زبری مانینگ، ۹۸ درصد از عدم قطعیت کل ظرفیت هیدرولیکی را تشکیل می‌دهند. در این صورت، عدم قطعیت هندسی قابل صرفنظر کردن است؛ در حالی که ضرب مانینگ پارامتر مهم در ایجاد عدم قطعیت ظرفیت هیدرولیکی رودخانه است.

## ۲-۸- تأثیر توزیع احتمال بار (دبی سیل) و

### مقاومت (ظرفیت هیدرولیکی) بر حدهای اطمینان تراز سطح آب سیل ۱۰۰ ساله

بازه ۹۵ درصد مطمئن تراز سطح آب رودخانه نظیر سیل ۱۰۰ ساله در مقطع بحرانی برای انواع توزیع‌های احتمال بار و مقاومت محاسبه شده و در جدول ۳ و شکل‌های ۴ و ۵ ارائه شده است.

تراز سطح آب در حالتی که عدم قطعیت هیدرولوژیکی و هیدرولیکی وجود نداشته باشد و نیز در حالتی که فقط عدم قطعیت هیدرولوژیکی در نظر گرفته شود، در جدول و شکل‌های مذبور ارائه شده است.

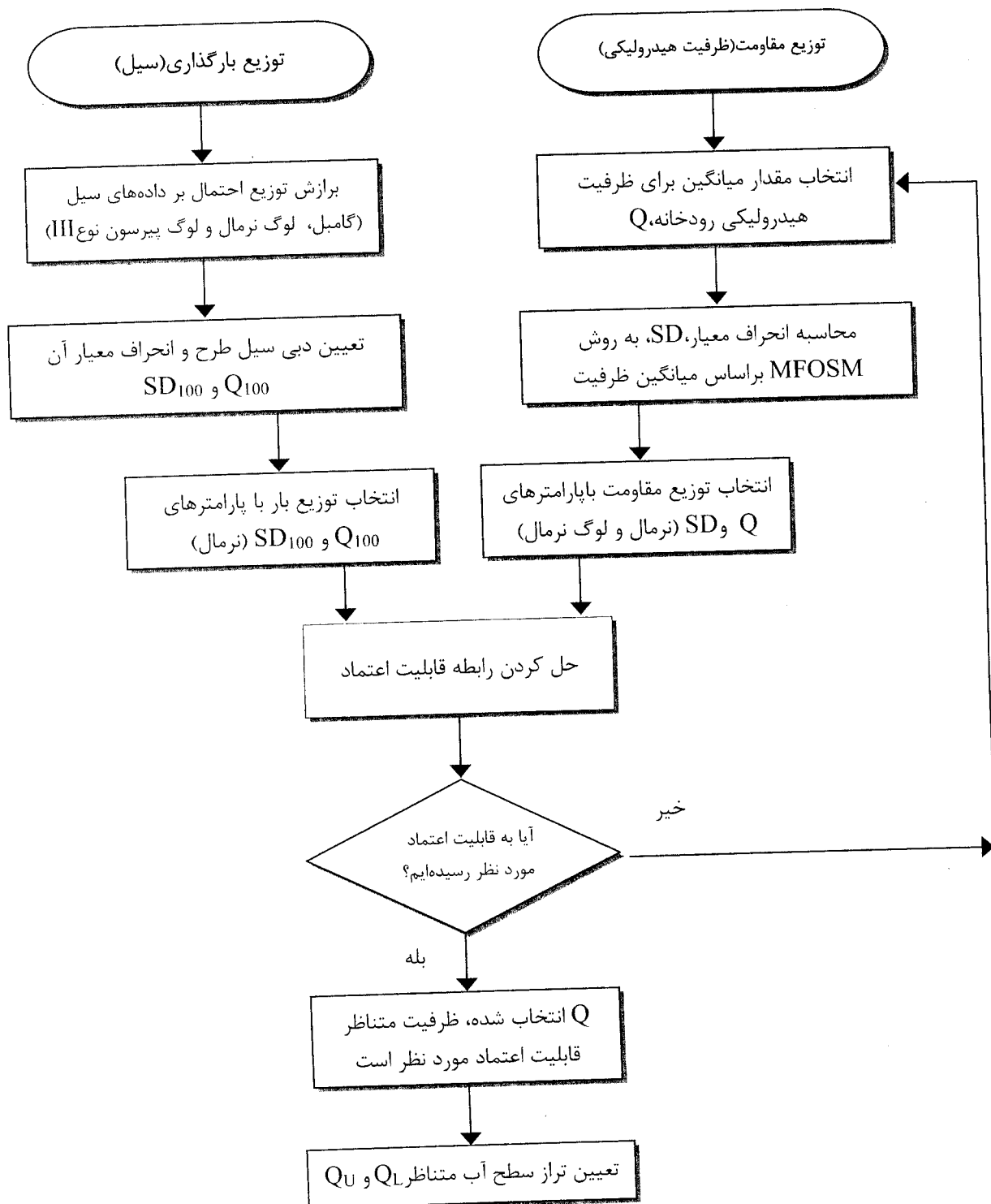
مقدار  $Q_L$  و  $Q_U$  با توجه به مقدار  $\alpha$  و ظرفیت هیدرولیکی رودخانه و واریانس آن از توزیع احتمال انتخاب شده و ظرفیت هیدرولیکی محاسبه می‌شود. این برآوردهای اولیه  $Q_L$  و  $Q_U$  در روابط (۲۶) و (۲۷) قرار داده شده و  $\alpha$  محاسبه شده با  $\alpha$  مورد نظر مقایسه می‌شود. اگر دو مقدار برابر باشند، نتیجه گرفته می‌شود که ظرفیت هیدرولیکی انتخاب شده مقدار صحیحی است؛ در غیر این صورت باید مقدار دیگری برای ظرفیت هیدرولیکی انتخاب شود و مراحل محاسباتی قبل آنقدر تکرار شود تا اختلاف بین  $\alpha$  برآورد شده از روابط (۲۶) و (۲۷) با مقدار مورد نظر ناچیز شود. بدین ترتیب، مقدار صحیح  $Q_L$  و  $Q_U$  به دست می‌آید. شکل ۳ روند حل مسئله را نشان می‌دهد. در این مقاله انتگرال‌گیری عددی روابط (۲۶) و (۲۷) با نرم افزار Mathematica انجام شده است.

## ۸- نتایج و بحث

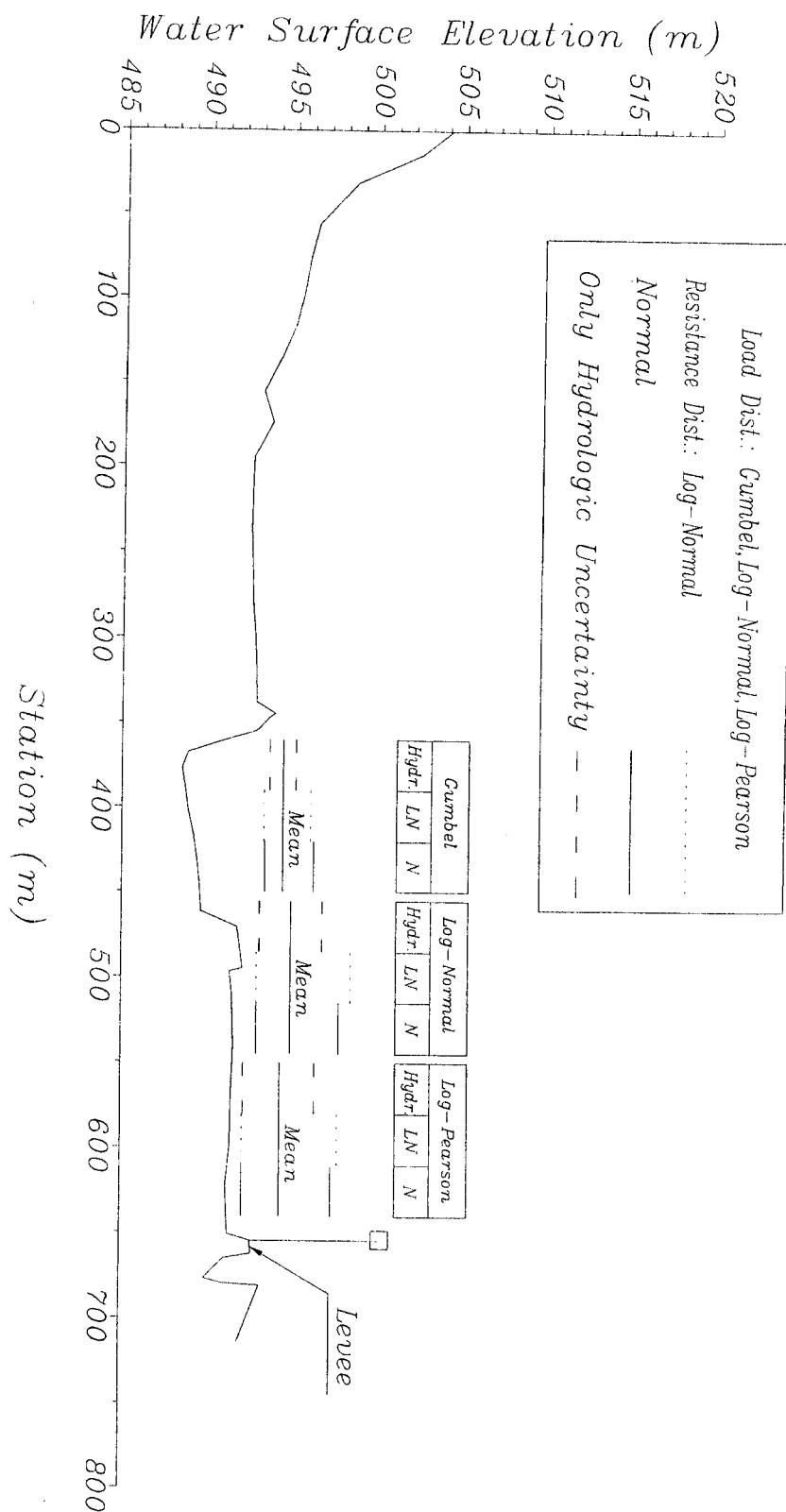
### ۱-۸- سهم عدم قطعیت‌های هیدرولیکی در عدم قطعیت ظرفیت هیدرولیکی رودخانه با توجه به اینکه عدم قطعیت ظرفیت سیستم رودخانه

جدول ۳ بازه ۹۵ درصد مطمئن تراز سطح آب در مقطع بحرانی در حالات مختلف توزیع احتمال بارگذاری و مقاومت

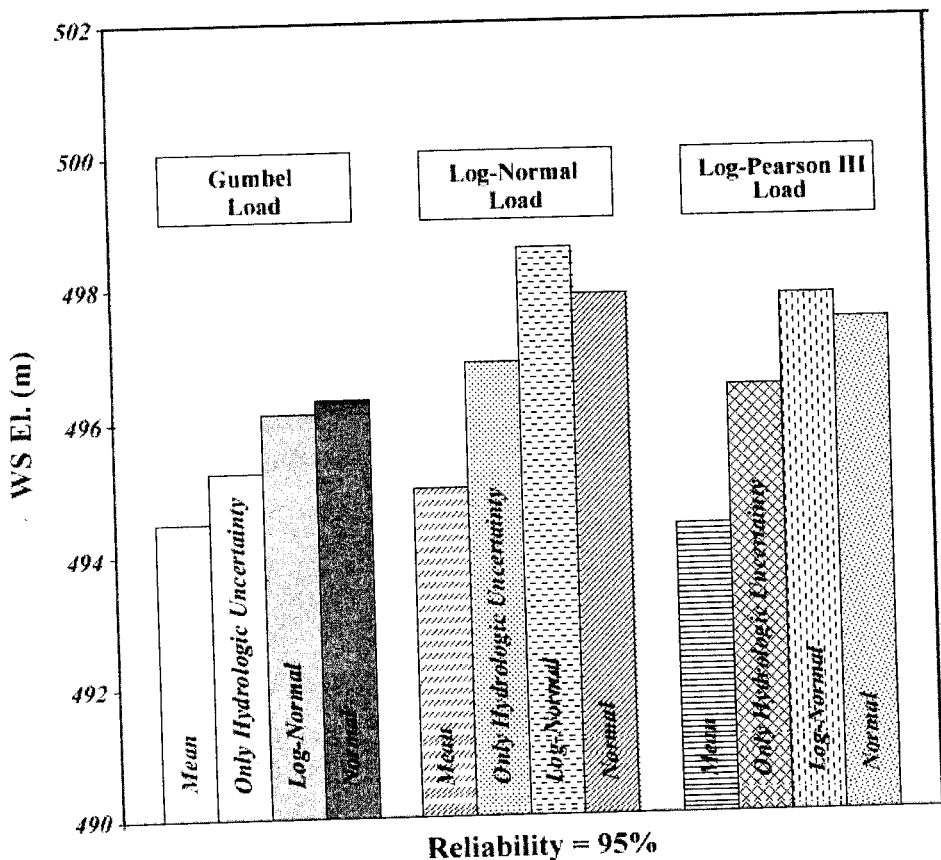
توزیع احتمال بار		عدم قطعیت هیدرولوژیکی و هیدرولیکی	قطر عدم قطعیت هیدرولوژیکی	توزیع احتمال مقاومت	
				لوگ نرمال	تراز سطح آب، متر
کامبل	حد بالا		۴۹۵/۲۵	۴۹۶/۱	۴۹۶/۳
		۴۹۴/۴۸			
	حد پایین		۴۹۳/۶۸	۴۹۳/۳۶	۴۹۳/۴۲
لوگ نرمال	حد بالا		۴۹۶/۸۴	۴۹۸/۰۵	۴۹۷/۸۴
		۴۹۴/۹۸			
	حد پایین		۴۹۳/۱۳	۴۹۲/۹۸	۴۹۲/۹۹
لوگ پرسون ۳	حد بالا		۴۹۶/۴۳	۴۹۷/۸	۴۹۷/۴۱
		۴۹۴/۳۹			
	حد پایین		۴۹۲/۲۱	۴۹۲/۱۶	۴۹۲/۱۶



شکل ۳ روند نمای حل مسأله



شکل ۴ حدود بازه ۹۵ درصد مطہن تراز سطح آب سیل ۱۰۰ ساله در معنی بحرانی در حالات مختلف توزیع احتمال بارگذاری و مقاومت

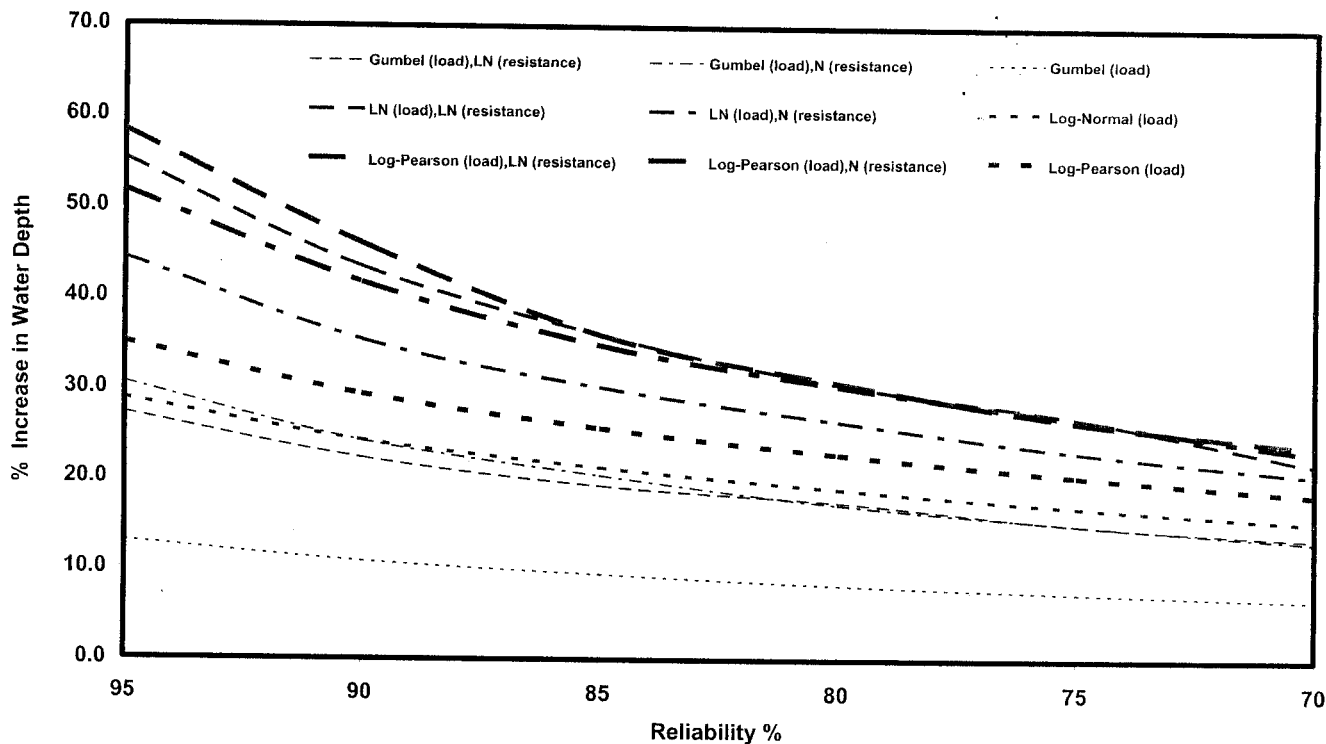


شکل ۵ حد بالای تراز سطح آب سیل ۱۰۰ ساله در مقاطع بحرانی با قابلیت اعتماد ۹۵ درصد با توزیعهای مختلف بارگذاری و مقاومت

### -۳- تعیین ضریب افزایش عمق آب به منظور ملاحظه کردن عدم قطعیت‌ها

به منظور استفاده راحت‌تر از نتایج در طراحی سیل بند، پارامتری به نام درصد افزایش عمق آب تعریف شده است. در واقع پس از تعیین عمق آب براساس روش‌های طراحی قطعی -که فقط با استفاده از مقادیر میانگین دبی طرح ( $Q_{100}$ ) انجام می‌شود- برای قابلیت اعتماد مورد نظر می‌توان با اعمال درصدی افزایش، عمق آب را به دست آورد که در این عمق، عدم قطعیت‌ها نیز ملاحظه شده باشند. این مقادیر افزایش برای عدم قطعیت‌های هیدرولیکی و هیدرولوژیکی به صورت توأم و نیز عدم قطعیت‌های هیدرولوژیکی به تنها ی محاسبه شده و نتایج در شکل ۶ ارائه شده است که میزان درصد افزایش عمق آب نسبت به میانگین را برای هریک از حالات مختلف نشان می‌دهد.

نتایج نشان می‌دهد که بیشترین تراز سطح آب با قابلیت اعتماد ۹۵ درصد در بین کلیه حالت‌های توزیع بارگذاری و مقاومت، مربوط به بارگذاری لوگ نرمال و توزیع مقاومت لوگ نرمال است. در صورتی که بارگذاری، توزیع گامبل داشته باشد، توزیع نرمال مقاومت، بیشترین تراز را به وجود می‌آورد. برای دو توزیع دیگر بارگذاری، توزیع لوگ نرمال مقاومت بیشترین تراز را ایجاد می‌کند. با توجه به عدم قطعیت نوع توزیع بارگذاری و مقاومت، انتخاب بیشترین تراز سطح آب با قابلیت اعتماد ۹۵ درصد در بین کلیه حالت‌های توزیع بارگذاری و مقاومت برای طرح افزایش ارتفاع سیل بند، طراحی محافظه کارانه خواهد بود.



شکل ۶ ضریب افزایش عمق جریان در مقطع بحرانی به ازای مقادیر مختلف قابلیت اعتماد

از عدم قطعیت‌های هیدرولیکی و فقط در نظر گرفتن عدم قطعیت‌های هیدرولوژیکی موجب ایجاد برآورد دست پایین تری برای طرح و افزایش ریسک سیستم کنترل سیل (سیل بند) می‌شود. در قابلیت اعتمادهای بالا، تأثیر عدم قطعیت‌های مدل قابل توجه است. نتایج مطالعات در مقطع بحرانی رودخانه سیستان نشان می‌دهد که در صورت وقوع سیل ۱۰۰ ساله، ریسک روگذری سیل بند بیش از ۵۰ درصد است. برای کاهش ریسک، افزایش ارتفاع سیل بند بر اساس نتایج این مقاله، مناسب خواهد بود.

ملاحظه می‌شود که برای هر یک از توزیعهای بارگذاری (سیل) مقدار افزایش عمق، وقتی عدم قطعیت‌های هیدرولوژیکی در نظر گرفته شود، نسبت به وقتی که هر دو نوع عدم قطعیت در نظر گرفته شود، کمتر است.

## ۹- نتیجه‌گیری

تراز سطح آب و پروفیل سطح آب رودخانه، مقداری قطعی نیست و در واقع متغیری تصادفی است. در این مقاله با در نظر گرفتن عدم قطعیت‌های هیدرولوژیکی و هیدرولیکی در قالب پارامترها و مدلها، این متغیر تصادفی به صورت احتمالی تعیین شده است. نتایج نشان می‌دهد که در صورت نادیده گرفتن عدم قطعیت‌های هیدرولوژیکی و هیدرولیکی، تراز سطح آب و پروفیل سطح آب رودخانه محاسبه شده توسط نرم افزارهای هیدرولیکی نمی‌تواند مبنای طراحی سیستم کنترل سیل (سیل بند) قرار گیرد زیرا ریسک آن زیاد است.

نتایج بررسیها همچنین نشان می‌دهد که صرفنظر کردن

## ۱۰- قدردانی

از همکاران مرکز تحقیقات آب و محیط زیست دانشگاه صنعتی شریف بویژه سرکار خانم مهندس خاکباز، آقای مهندس ترابی، آقای امیرحسین تجریشی و سرکار خانم خیرآبادی که در تمامی مراحل این مطالعه ما را ریاضی دادند تشکر می‌شود.

## ۱۱- منابع

- [10] Cesare, M. A., "First-Order Analysis of Open-Channel Flow", *J. of Hydr. Eng.*, ASCE, 117(2), pp 242-247, 1991.
- [11] ingh, S., and C. S. Melching, "Importance of Hydraulic Model Uncertainty in Flood Stage Estimation", *Hydraulic Engineering'93*, Edited by Shen, Su and Wen, 1993
- [12] Mays, L. W., and Y. K. Tung, "Hydrosystems Engineering and Management", McGraw-Hill, New York, N.Y., 1992.
- [13] Johnson, P. A., Uncertainty of Hydraulic Parameters, *J. of Hydr. Eng.*, ASCE, 122(2), pp 112-114, 1996.
- [14] Abrishamchi, A., A. Afshar, and R. Kerachian, "Spillway Capacity Optimization Under Hydrologic Uncertainties and Flood Routing", *Iranian Journal of Science and Technology*, 272(A1), pp 111-121, 2003.
- [15] Barkhordari, J., A. Afshar, and M.A. Marino, "River Diversion Optimization under Hydraulic and Hydrologic Uncertainties", *J. of Water Resources Planning and Management*, ASCE, 120(1), pp 36-47, 1994.
- [16] Mays, L. W., and Yeuo-Koung Tung "Hydrosystems Engineering and Management", McGraw-Hill, 1992.
- [۱۷] صالحی، افشنین، "تعیین ارتفاع سیل بند با در نظر گرفتن تغییرات کف بستر رودخانه"، دانشگاه صنعتی شریف، آبان ۱۳۷۸.
- [۱۸] "طرح هیدرودینامیک رودخانه سیستان"، گزارش فنی (ج): مدل هیدرودینامیک رودخانه سیستان، دفتر مطالعات آب و محیط زیست شریف EWRC مرداد ۱۳۸۰.
- [1] Tung, Y. K., "Uncertainty Analysis in Water Resources Engineering", Proceeding of the 7<sup>th</sup> IAHR International Symposium, Stochastic Hydraulics'96
- [13] Johnson, P.A., Uncertainty of "Hydraulic Parameters, *J. of Hydr. Eng.*, ASCE, 122(2), pp 112-114, 1996.
- [2] Burges, S. J., "Analysis of Uncertainty in Flood Plain Mapping", *Water Resour. Bull.*, 15(1), pp 227-243, 1979.
- [3] Alysis for Hydraulic Design", *J. of Hydr. Eng.*, ASCE, 106(5), pp 893-913, 1980.
- [4] Tung, Y. K., and L. W. Mays, "Risk Models for Flood Levee Design", *Water Resour. Res.*, 17(4), pp 833-841, 1981.
- [5] McBean, E. J. Penel, and K. L. Sin, "Uncertainty Analysis of a Delineated Flood Plain", *Can. J. Eng.*, 11, pp 387-395, 1984.
- [6] Hydrologic Engineering Center (HEC), "Accuracy of Computed Water Surface Profiles". Research Document 26, U.S. Army Corps of Engineering, Davis, CA., 1986.
- [7] Burnham, M. W. and D. W. Davis, "Effects of Data Errors on Computed Steady-Flow Profiles", *J. of Hydr. Eng.*, ASCE, 116(7), pp 914-929, 1990.
- [8] Lee, H. L., and L. W. Mays, "Hydraulic Uncertainty in Flood Levee Capacity", *J. of Hydr. Eng.*, ASCE, 112(10), pp 928-934, 1986.
- [9] Oegema, B. W., and E. A. McBean, "Uncertainty in Flood Plain Mapping". Application of Frequency and Risk in Water Resources, V.P. Singh, ed., D. Reidel Publishing Co., Dordrecht, The Netherlands, pp 293-303, 1987.